

01;02

## О спектральном и угловом распределении медленных электронов, испускаемых атомами водорода при столкновениях с быстрыми высокозарядными ионами

© А.Б. Войткив

Институт электроники АН Узбекистана,  
700143 Ташкент, Узбекистан

(Поступило в Редакцию 13 ноября 1995 г. В окончательной редакции 5 июня 1996 г.)

Рассматривается ионизация атомов водорода с испусканием медленных электронов при столкновениях с быстрыми многозарядными ионами. Получены аналитические выражения для одно- и дважды дифференциальных сечений ионизации и для величины, характеризующей угловую асимметрию в вылете медленных электронов. Обсуждается особенность в балансе импульсов при столкновениях, приводящих к вылету медленных электронов.

Исследование столкновений атомов с быстрыми высокозарядными ионами (ВЗИ) представляет интерес как для ряда разделов физики (атомной, твердого тела, плазмы и т.д.), так и для смежных с нею областей (например, биофизики). Зачастую заряды  $Z$  этих ионов настолько велики, что, несмотря на большое значение их скорости  $v$  ( $v \gg v_0$ ,  $v_0 = 1$  а.е.  $\simeq 2 \cdot 10^8$  см/с), выполняется соотношение  $Z \gtrsim v$  (здесь и ниже, если не оговорено иное, используются атомные единицы). Изучению полных сечений одно-, двух- и многократной ионизации атомов при столкновениях с такими ионами был посвящен целый ряд экспериментальных и теоретических работ (см., например, [1–4] и цитированную литературу). Более детальная информация о процессе столкновения быстрого ВЗИ с атомом может быть получена при исследовании различных дифференциальных сечений. Значительный прогресс экспериментальной техники в последние годы сделал возможным проведение так называемых кинематически полных экспериментов по исследованию столкновений быстрых заряженных частиц с атомами [5,6], когда определяются не только полные сечения ионизации, но и угловые и энергетические распределения покидающих атом электронов, импульсы и энергии ионов отдачи и т.д. Подобные исследования для процесса однократной ионизации атомов гелия при столкновениях с быстрым ВЗИ ( $Z = 24$ ,  $v = 12$ ), характеризующихся малыми значениями переданного атому импульса (ниже такие столкновения будем называть "мягкими"), были выполнены в [6], где изучались характеристики медленных электронов, энергии которых после вылета из атома не превышают заметно его потенциала ионизации, и баланс импульсов в системе ВЗИ, электрон, ион отдачи (там же был проведен расчет этого процесса столкновения методом классических траекторий Монте-Карло (МКТМК)). Изучение характеристик медленных электронов имеет важное значение, поскольку они составляют основную часть электронов, испускаемых атомами при столкновениях с быстрыми ВЗИ в рассматриваемой области параметров  $Z$ ,  $v$ .

В настоящей работе исследуется ионизация атомов водорода при "мягких" столкновениях с быстрыми ВЗИ, в которых атомы испускают медленные электроны при следующих параметрах задачи:  $v \lesssim Z \ll v^2$ ,  $v \gg v_0$ ,  $v_0$  — характерная орбитальная скорость электрона в основном состоянии атома. Мы рассмотрим энергетическое и угловое распределения медленных электронов ( $v_e \lesssim v_0$ ,  $v_e$  — скорость испущенного электрона по отношению к иону отдачи), а также кратко обсудим на основе аналогии с фотоионизацией особенность баланса импульсов в таких столкновениях.

Пусть первоначально атом водорода с ядром, покоящимся в начале координат, находится в основном состоянии, а бесструктурный ВЗИ движется вдоль классической линейной траектории  $\mathbf{R}(t) = \mathbf{b} + \mathbf{v}t$ ,  $\mathbf{b}$  — вектор прицельного параметра. Разобьем всю область прицельного параметра  $0 \leq b < \infty$  на две подобласти: 1)  $b \lesssim Z/v$ , 2)  $b > Z/v$ .

При столкновениях в первой подобласти электрону передается в среднем значительная энергия, которая существенно превышает потенциал ионизации атома. Действительно, эту энергию при  $b \gtrsim 1$  можно оценить как  $\varepsilon(b) \simeq 2Z^2/(b^2v^2)$  [7], т.е. она уже довольно высока при  $b \simeq Z/v > 1$  и быстро возрастает с уменьшением прицельного параметра (например, для ионов с  $Z = 24$  и  $v = 12$ , использованных в [6],  $\varepsilon(b = 1) = 8$ ). В области  $b < 1$  средняя переданная энергия еще выше. По этой причине (а также из-за малого размера области  $b < Z/v$ ) вклад "жестких" столкновений в испускание медленных электронов мал и ниже эти столкновения рассматриваться не будут (по поводу спектров электронов, испускаемых при столкновениях с большой передачей импульса см., например, [8–11] и цитированную там литературу).

В области прицельных параметров  $b > Z/v > 1$  расчеты в различных приближениях [12–14] предсказывают, что вероятность ионизации быстро уменьшается с ростом  $b$  и становится гораздо меньше единицы уже при  $b \simeq (1.5–2)Z/v$ . Для описания переходов атома

в таких столкновениях будем использовать формализм матриц рассеяния, в котором амплитуда перехода атома имеет вид

$$A_{\mathbf{k}} = -i \int_{-\infty}^{+\infty} dt \langle \Psi_{\mathbf{k}}^{(-)}(\mathbf{r}, t) | W(\mathbf{r}, t) | \phi_0(\mathbf{r}, t) \rangle, \quad (1)$$

где  $\phi_0(\mathbf{r}, t) = \phi_0(\mathbf{r}) \exp(-it^2/2)$ ,  $\phi_0(\mathbf{r}) = \pi^{-1/2} \times \exp(-r)$  — волновая функция основного состояния водорода,  $\psi_{\mathbf{k}}^{(-)}(\mathbf{r}, t)$  — волновая функция электрона в конечном состоянии при одновременном присутствии поля ядра и поля ВЗИ,  $W(\mathbf{r}, t) = Z/|\mathbf{R}(t)| - Z/|\mathbf{R}(t) - \mathbf{r}|$  — взаимодействие атома с полем ВЗИ,  $\mathbf{r}$  — радиус-вектор электрона.

Оценим относительное влияние обоих центров на электрон в конечном состоянии  $\Psi_{\mathbf{k}}^{(-)}(\mathbf{r}, t)$  по отношению классических сил, действующих на него со стороны быстрого ВЗИ ( $F_i$ ) и ядра атома ( $F_a$ ). Как функция времени поле быстрого ВЗИ в области расположения атома имеет максимум с центром в точке  $t = 0$  и эффективной шириной  $T \simeq b/v$  ( $b > 1$  [15,7]). В области прицельных параметров  $b > v$  поле ВЗИ является для атома не только уже очень слабым (при  $v^2 \gg Z$ ), но и меняющимся адиабатически медленно, вероятность ионизации атома при этом экспоненциально мала (см., например, [12]). В столкновениях же при  $Z/v < b < v$ , вносящих основной вклад в испускание медленных электронов,  $T < 1$  — т.е. при таких прицельных параметрах поле ВЗИ имеет довольно острый максимум при временах  $|t| < T$ , когда в основном и происходит ионизация. Тогда расстояние между протоном и покидающим его электроном оценим как  $\bar{v}t$  ( $t > 0$ ), где  $\bar{v}$  — средняя скорость, с которой электрон проходит область пространства  $r \sim 1$  и которая для медленных электронов по порядку величины равна  $v_0 = 1$ . Расстояние между ВЗИ и электроном при  $t > 0$  можно принять пропорциональным разности их скоростей:  $|v - \bar{v}|t \simeq vt$ . Таким образом, для отношения сил имеем:  $F_i/F_a \sim Zv_0^2/v^2 = Z/v^2$ ,<sup>1</sup> откуда следует, что при  $Z/v^2 \ll 1$  поведение медленного электрона в конечном состоянии "управляется" в основном полем ядра атома. Поэтому влияние кулоновского взаимодействия быстрого ВЗИ с таким электроном может быть учтено приближенно. Как будет видно ниже, основной эффект этого влияния — асимметрия в угловом распределении медленных электронов, большая их часть увлекается кулоновским притяжением пролетевшего ВЗИ в направлении его движения.

Имеется еще один эффект, приводящий к асимметрии в угловом распределении медленных электронов. Раскладывая потенциал взаимодействия атома с полем ВЗИ ( $Z/|\mathbf{R}(t)| - Z/|\mathbf{R}(t) - \mathbf{r}|$ ) как функцию координат электрона и времени по монохроматическим плоским волнам,

<sup>1</sup> Для электронов со скоростями  $v_0 < v_e < v$  имеем  $\bar{v} \simeq v_e$  и  $F_i/F_a \sim Zv_e^2/v^2 \sim ZE/v^2$ . Отсюда следует, что при энергиях электронов  $E \sim v^2/Z$  влияние обоих центров становится сравнимым, а при  $E \gg v^2/Z$  влияние ВЗИ является основным.

нетрудно убедиться, что поле ВЗИ несет продольный (параллельный скорости иона) импульс  $q_p \sim 1/v$ , причем его абсолютное значение и направление не зависят (при  $Z \neq 0$ ) от величины и знака заряда налетающей частицы (важно отметить, что при учете лишь дипольного члена в разложении этого взаимодействия рассчитанное значение  $q_p$  обращается в нуль). Поглощение этого импульса атомным электроном приводит (см. ниже) к дополнительной асимметрии в угловом распределении медленных электронов.

Взаимодействие  $W(\mathbf{r}, t)$  в области прицельных параметров  $b > Z/v > 1$  представим в виде

$$W(\mathbf{r}, t) = W_1(\mathbf{r}, t) + W_2(\mathbf{r}, t), \quad (2)$$

где

$$W_1(\mathbf{r}, t) = -\frac{Z(vtz + by)}{R^3(t)} = -\frac{Z\mathbf{R}(t)\mathbf{r}}{R^3(t)} = -\mathbf{E}(t)\mathbf{r},$$

$$W_2(\mathbf{r}, t) = \frac{Zr^2}{2R^3(t)} - \frac{3Z}{2R^5(t)}(vtz + by)^2. \quad (3)$$

В (3) ось  $z$  направлена по скорости ВЗИ, ось  $y$  — по вектору прицельного параметра. В соответствии с вышесказанным в (2) проведено разложение взаимодействия  $W(\mathbf{r}, t)$  с точностью до квадрупольных членов включительно.

Волновая функция  $\Psi_{\mathbf{k}}^{(-)}(\mathbf{r}, t)$  электрона в конечном состоянии в поле двух центров удовлетворяет уравнению Шредингера

$$i \frac{\partial}{\partial t} \Psi_{\mathbf{k}}^{(+)} = \left( -\frac{\Delta}{2} - \frac{1}{r} - W_1 - W_2 \right) \Psi_{\mathbf{k}}^{(+)}. \quad (4)$$

В соответствии с приведенными выше соображениями об относительной роли двух центров в конечном состоянии учтем взаимодействие медленного электрона с ядром атома точно, а с полем быстрого ВЗИ — в нулевом приближении внезапных возмущений [16]

$$\Psi_{\mathbf{k}}^{(+)}(\mathbf{r}, t) = \phi_{\mathbf{k}}^{(+)}(\mathbf{r}) \exp\left(-ik^2t/2 - i \int_{-\infty}^t dt' W(t')\right), \quad (5)$$

где  $\phi_{\mathbf{k}}^{(+)}(\mathbf{r})$  — кулоновская волновая функция рассеяния электрона на протоне, имеющая при  $r \rightarrow \infty$  вид суперпозиции падающей "плоской" плюс расходящейся сферической волн и нормированная согласно условию  $\langle \phi_{\mathbf{k}}^{(+)} | \phi_{\mathbf{k}}^{(+)} \rangle = (2\pi)^{-3} \delta(\mathbf{k} - \mathbf{k}')$ ,  $\mathbf{k}$  — волновой вектор движения электрона относительно ядра атома. При подстановке (5) в (1) имеем

$$A_{\mathbf{k}} = -i \left\langle \phi_{\mathbf{k}}^{(-)}(\mathbf{r}) \left| \int_{-\infty}^{+\infty} dt W(\mathbf{r}, t) \right. \right.$$

$$\left. \times \exp\left(i\omega t - i \int_{-\infty}^t dt' W(t')\right) \right| \phi_0(\mathbf{r}) \rangle, \quad (6)$$

где  $\omega = (1 + k^2)/2$  — частота перехода,  $\phi_{\mathbf{k}}^{(-)}(\mathbf{r}) = (\phi_{-\mathbf{k}}^{(+)}(\mathbf{r}))^*$ .

При  $b > Z/v > 1$  член  $\int_{-\infty}^t dt' W(t')$  при любых  $t$  мал в сравнении с единицей. Раскладывая соответствующую экспоненту в (6) в ряд и оставляя в (6) основные члены, получаем

$$A_{\mathbf{k}} = A_{\mathbf{k}}^d + A_{\mathbf{k}}^q + A_{\mathbf{k}}^i, \quad (7)$$

где

$$A_{\mathbf{k}}^d = -i \left\langle \phi_{\mathbf{k}}^{(-)}(\mathbf{r}) \left| \int_{-\infty}^{+\infty} dt W_1(\mathbf{r}, t) \exp(i\omega t) \right| \phi_0(\mathbf{r}) \right\rangle,$$

$$A_{\mathbf{k}}^q = -i \left\langle \phi_{\mathbf{k}}^{(-)}(\mathbf{r}) \left| \int_{-\infty}^{+\infty} dt W_2(\mathbf{r}, t) \exp(i\omega t) \right| \phi_0(\mathbf{r}) \right\rangle \quad (8)$$

— амплитуды дипольного и квадрупольного переходов соответственно, а в величине

$$A_{\mathbf{k}}^i = -i \left\langle \phi_{\mathbf{k}}^{(-)}(\mathbf{r}) \left| \int_{-\infty}^{+\infty} dt \exp(i\omega t) (\mathbf{q}(t)\mathbf{r}) W_1(t) \right| \phi_0(\mathbf{r}) \right\rangle \quad (9)$$

учтен основной член по взаимодействию медленного электрона в конечном состоянии с полем быстрого ВЗИ;  $\mathbf{q}(t) = \int_{-\infty}^t dt \mathbf{E}(t)$ .

Для вероятности перехода электрона в состояние с определенным значением вектора  $\mathbf{k}$  при столкновении с прицельным параметром  $b$  имеем:

$$w(\mathbf{k}, \mathbf{b}) = |A_{\mathbf{k}}|^2 \simeq |A_{\mathbf{k}}^d|^2 + 2\text{Re}(A_{\mathbf{k}}^d) \text{Re}(A_{\mathbf{k}}^q + A_{\mathbf{k}}^i) + 2\text{Im}(A_{\mathbf{k}}^d) \text{Im}(A_{\mathbf{k}}^q + A_{\mathbf{k}}^i). \quad (10)$$

Используя явный вид взаимодействий  $W_1$ ,  $W_2$  и кулоновских волновых функций и усредняя (в силу геометрии задачи) вероятность (10) по углу вылета электрона  $\phi$  ( $0 \leq \phi < 2\pi$ ,  $\phi$  — азимутальный угол в плоскости прицельного параметра), можно получить

$$w(k, \Theta, b) = \frac{1}{2\pi} \int_0^{2\pi} d\phi w(\mathbf{k}, \mathbf{b}) = \frac{2Z^2\omega^2}{v^4} \alpha(k) \times \left( 2K_0^2(\xi) \cos^2 \Theta + K_1^2(\xi) \sin^2 \Theta + \frac{8k}{v} \cos \Theta \left( K_1^2(\xi) \sin^2 \Theta + K_0^2(\xi) (3 \cos^2 \Theta - 1) \right) + \frac{4Z}{v^2} \frac{\cos \Theta}{\omega} \left( K_0(\xi) K_1(\xi) - \frac{\pi k}{2} \exp(-\xi) \right) \times \left( 2K_1(\xi) \sin^2 \Theta + K_0(\xi) (3 \cos^2 \Theta - 1) \right) \right), \quad (11)$$

где угол вылета электрона  $\Theta$  ( $0 \leq \Theta \leq \pi$ ) отсчитывается от направления скорости ВЗИ;  $\xi = \omega b/v$ ;  $K_0$ ,  $K_1$  — модифицированные функции Бесселя [17];

$$\alpha(k) = \frac{2^7 k^{-1}}{(1+k^2)^5} \frac{\exp(-\frac{4}{k} \text{arctg} k)}{(1 - \exp(-2\pi/k))}. \quad (12)$$

Для вероятности ионизации с вылетом медленного электрона при столкновении с фиксированным прицельным параметром имеем

$$w(b) = \int_0^{k_{\max}} dk k^2 \int d\Omega w(k, \Theta, b), \quad (13)$$

где  $k_{\max} \simeq v_0 = 1$ ,  $d\Omega = 2\pi \sin \Theta d\Theta$ .

Дважды дифференциальное (по углу вылета и по энергии  $E = k^2/2$ ) сечение ионизации определяется выражением

$$\frac{d^2\sigma}{dE d\Omega} = 2\pi \int_{b_{\min}}^{\infty} db b (2E)^{1/2} w(k(E), \Theta, b), \quad (14)$$

где  $b_{\min} = \lambda Z/v \ll v$  ( $\lambda$  — константа порядка единицы) — нижняя граница области прицельных параметров, в которой вероятность ионизации заметно меньше единицы.

Выполняя в (14) интегрирование по прицельному параметру, находим:

$$\frac{d^2\sigma}{dE d\Omega} = 2^8 \frac{Z^2}{v^2} \frac{1}{(1+2E)^5} \frac{\exp(-4/(2E)^{1/2} \text{arctg}(2E)^{1/2})}{(1 - \exp(-2\pi/(2E)^{1/2}))} \times \left( \sin^2 \Theta \ln \beta + \cos^2 \Theta - 0.5 \sin^2 \Theta + 2^{3.5} (E^{1/2}/v) \cos \Theta \left( \sin^2 \Theta \ln \beta + \cos 2\Theta \right) + 2(Z/v^2) \cos \Theta \left( \ln^2 \beta - 2^{1.5} \pi E^{1/2} \left( \sin^2 \Theta \ln \beta + \cos 2\Theta - 0.5 \sin^2 \Theta \right) \right) \right) \quad (15)$$

где  $\beta = 1.123v/(b_{\min}(E + 0.5)) = (1.123/\lambda)(v^2/Z)/(E + 0.5)$ .

Поскольку величина  $\beta$ , определенная с точностью до постоянного коэффициента порядка единицы, содержит большой множитель  $v^2/Z$  и входит в (15) под знаком логарифма, то просто положим там  $\lambda = 1$ . Отметим, что точность используемого подхода растет с увеличением геометрических размеров области прицельных параметров  $Z/v < b < v$ .

Распределение электронов по энергиям определяется дифференциальным сечением

$$\frac{d\sigma}{dE} = \int d\Omega \frac{d^2\sigma}{dEd\Omega} = \frac{2^{11}\pi Z^2}{3} \frac{1}{v^2 (1+2E)^5} \times \frac{\exp(-4/(2E)^{1/2}) \operatorname{arctg}(2E)^{1/2}}{(1 - \exp(-2\pi/(2E)^{1/2}))} \ln\left(\frac{2.25v^2}{Z(1+2E)}\right). \quad (16)$$

Как следует из (16), вероятность вылета электрона быстро уменьшается с ростом его энергии: основная часть ( $\sim 90\%$ ) вылетевших электронов имеет энергии, не превосходящие потенциала ионизации атома  $I_0 = 0.5$ . Отметим, что в рассматриваемом приближении вклад в (16) дают лишь дипольные переходы между состояниями  $\phi_0$  и  $\phi_k^{(-)}$  за счет взаимодействия  $W_2(\mathbf{r}, t)$  (которое приводит к монопольным и квадрупольным электронным переходам) и переходы в конечные состояния, искаженные полем ВЗИ, ответственные за асимметрию в угловом распределении медленных электронов, вклада в (16) не вносят, соответственно не влияют они в рассматриваемом приближении и на полное число испускаемых медленных электронов.

Для получения углового распределения этих электронов необходимо проинтегрировать (15) по энергиям  $E$ :  $0 \leq E < I_0$ . Однако поскольку вероятность вылета электрона быстро падает с ростом  $E$ , то верхний предел в интеграле по энергиям можно формально положить равным бесконечному, после чего находим

$$\begin{aligned} \frac{d\sigma}{d\Omega} = \int_0^\infty dE \frac{d^2\sigma}{dEd\Omega} = 3 \cdot 0.283 \frac{Z^2}{v^2} & \left( \sin^2 \Theta \ln \beta_1 \right. \\ & + \cos^2 \Theta - 0.5 \sin^2 \Theta + \frac{8 \cdot 0.61}{v} \cos \Theta \\ & \times \left( \sin^2 \Theta \ln \beta_2 + \cos 2\Theta \right) + \frac{2Z}{v^2} \cos \Theta \\ & \times \left( \ln^2 \beta_1 + \langle \ln^2 \omega \rangle - \ln^2 \omega_1 - 2\pi \cdot 0.61 \right. \\ & \left. \left. \times \left( \sin^2 \Theta \ln \beta_2 + \cos 2\Theta - 0.5 \sin^2 \Theta \right) \right) \right), \quad (17) \end{aligned}$$

где

$$\begin{aligned} \beta_1 &= 1.12v^2/(Z\omega_1), & \beta_2 &= 1.12v^2/(Z\omega_2), \\ \omega_1 &= \exp\left(\int_0^\infty dk \alpha(k) \ln(\omega) / \int_0^\infty dk \alpha(k)\right) = 0.71, \\ \omega_2 &= \exp\left(\int_0^\infty dk k \alpha(k) \ln(\omega) / \int_0^\infty dk k \alpha(k)\right) = 0.81, \\ \langle \ln^2 \omega \rangle &= \int_0^\infty dk \alpha(k) \ln^2(\omega) / \int_0^\infty dk \alpha(k) = 0.234, \\ \ln^2 \omega_1 &= 0.1. \quad (18) \end{aligned}$$

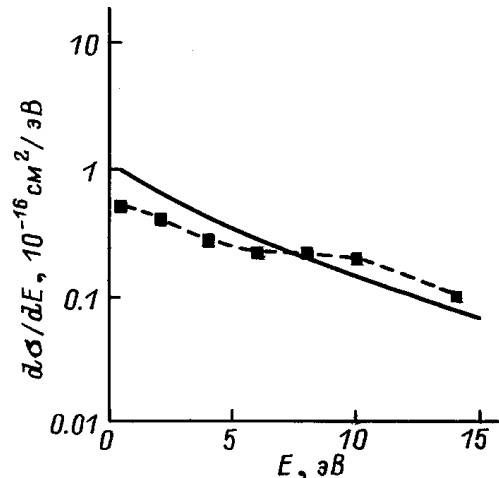


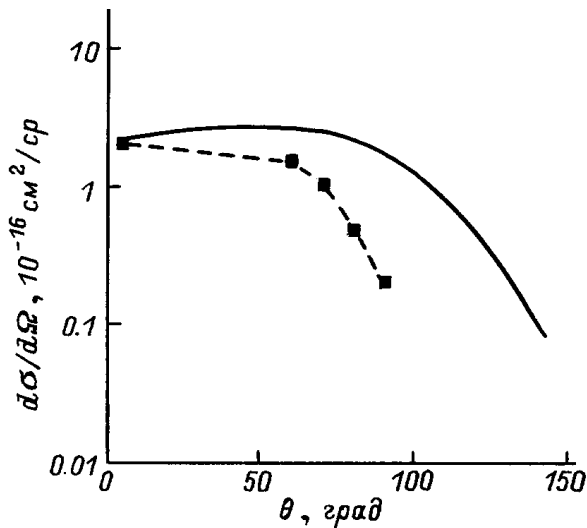
Рис. 1. Дифференциальное по энергии сечение ионизации атомов водорода в столкновениях с ВЗИ при  $Z = 6$  и  $v = 5$ . Сплошная линия — расчет по (16), —■— данные [13].

На рис. 1 приведено сравнение дифференциального сечения  $d\sigma/dE$ , найденного по формуле (16) с данными расчета МКТМК [13] для  $Z = 6$ ,  $v = 5$ . Наши результаты для этого сечения заметно превышают данные расчета [13] в области энергий вылетающих электронов  $E \lesssim 5$  эВ. На рис. 2 сравниваются дифференциальное сечение  $d\sigma/d\Omega$ , рассчитанное по формуле (17), с данными из [13] при тех же значениях параметров  $Z$ ,  $v$ . Расхождение между нашими результатами для  $d\sigma/d\Omega$  и расчетом МКТМК, не очень заметное при малых углах  $\Theta$  вылета электрона, с ростом  $\Theta$  становится значительным. Расхождение наших результатов для дифференциальных сечений  $d\sigma/dE$ ,  $d\sigma/d\Omega$  с данными расчета МКТМК можно связать со следующими известными причинами. По классической механике столкновения с достаточно большими значениями прицельного параметра, когда средняя переданная атому энергия меньше его потенциала ионизации, не вносят заметного вклада в процесс ионизации (вклад этой области  $b$  "классически подавлен" [18]). С другой стороны, согласно квантовой механике, именно эта область  $b$  дает основной вклад в эмиссию электронов при  $v \gg v_0$ , причем ионизация в этом случае происходит с вылетом медленных электронов. Это различие, в частности, приводит к разным асимптотикам сечений однократной ионизации в области скоростей столкновения  $v \gg v_0$  (индексы КЛ и КВ — по классической и по квантовой механике соответственно)

$$\sigma''_{\text{КЛ}} v^{-2} [19], \quad \sigma''_{\text{КВ}} (\text{const}_1 + \ln v) v^{-2} (v \gg v_0, Z) [20],$$

$$\sigma''_{\text{КВ}} (\text{const}_2 + \ln(v^2/Z)) v^{-2} (Z \sim v \gg v_0) [1].$$

Добавим к этому, что, как известно (см., например, [18] и цитированную там литературу), особенно заметные трудности появляются при попытке использовать классическую механику для описания эмиссии



**Рис. 2.** Дифференциальное по углу сечение ионизации атомов водорода в столкновениях с ВЗИ при  $Z = 6$  и  $v = 5$ . Сплошная линия — расчет по (17),  $- \blacksquare -$  — данные [13].

медленных электронов в направлении больших углов  $\Theta$ . Таким образом, расхождения между нашими расчетами и данными из [13] можно связать с тем, что методы расчета ионизации, основанные на классической механике, не применимы для описания "мягких" столкновений [21].

Асимметрию в вылете электронов можно охарактеризовать величиной

$$\eta = \left( \int_0^{\pi/2} d\Theta \sin \Theta \frac{d\sigma}{d\Omega} - \int_{\pi/2}^{\pi} d\Theta \sin \Theta \frac{d\sigma}{d\Omega} \right) \times \left( \int_0^{\pi} d\Theta \sin \Theta \frac{d\sigma}{d\Omega} \right)^{-1}. \quad (19)$$

Из (18) и (19) находим

$$\eta = \frac{1.83}{v} + \frac{Z}{v^2} \left( 1.5 \ln \left( \frac{1.6v^2}{Z} \right) - 2.87 + 2.15 \ln^{-1} \left( \frac{1.6v^2}{Z} \right) \right). \quad (20)$$

Из (20) следует, что большая часть медленных электронов испускается атомом (при  $Z > 0$ ) в направлении движения быстрого ВЗИ. Первый член в (20), не зависящий от величины и знака заряда ВЗИ, и второй, зависящий от того и другого (при  $Z < 0$  под знаком логарифма следует брать  $|Z|$ ), есть следствия соответственно поглощения атомом продольного импульса  $q_p \sim 1/v$  и увлечения покинувшего атом электрона электрическим полем пролетевшего ВЗИ, которые обсуждены выше. Отметим, что простая аддитивность этих двух эффектов в (20) есть следствие разложений (7), (10), где члены, приводящие к угловой асимметрии (но не являющиеся

основными для полной эмиссии), учитываются в первом неисчезающем приближении.

Для вклада в сечение ионизации атомов водорода от столкновений, в которых происходит вылет медленных электронов, из (16) (или(17)) получаем

$$\Delta\sigma = 8\pi \cdot 0.283 \frac{Z^2}{v^2} \ln \left( \frac{1.6v^2}{Z} \right). \quad (21)$$

Это выражение практически совпадает с выражением для (полного) сечения ионизации, найденного в [12], и лишь численным множителем, стоящим под знаком логарифма, отличается от полного сечения ионизации, рассчитанного в [7],

$$\sigma_i = 8\pi \cdot 0.283 \frac{Z^2}{v^2} \ln \left( \frac{5v^2}{Z} \right), \quad (22)$$

которое хорошо описывает имеющиеся экспериментальные данные при  $v_0 \ll v \lesssim Z \ll v^2$ . Из (21) и (22) видно, что  $\Delta\sigma \simeq \sigma_i$  при  $v_0 \ll v \lesssim Z \ll v^2/3$ , т.е. столкновения, в результате которых испускаются медленные электроны, практически определяют в этом случае величину сечения ионизации.

Отметим, что все сечения (15)–(17), (21), (22) как функции заряда и скорости налетающей частицы удовлетворяют скейлингу  $\sigma/Z = f(v^2/Z)$ , характерному для сечения ионизации водорода при столкновениях в области параметров задачи  $Z/v > 1, v \gg v_0$  [1].

Выше для простоты рассмотрения мы предполагали ВЗИ бесструктурным. Очевидно, однако, что и несущий электроны быстрый ВЗИ при  $b > Z/v > 1 \gg r_Z$ , где  $r_Z \sim 1/Z$  — размер иона, может рассматриваться как точечный заряд.

В заключение кратко остановимся на особенности в балансе импульсов в столкновении быстрого ВЗИ с атомом при  $b > Z/v$ . В таких столкновениях средний импульс  $Q \simeq Z\mathbf{b}/(b^2v)$ , передаваемый полем налетающей частицы атомному электрону (см., например, [17]), мал в сравнении с характерным импульсом электрона в основном состоянии атома  $Q_0 \simeq 1$ . В то же время поле быстрого ВЗИ содержит характерные частоты  $\Omega \sim v/b$ , которые и при  $b \simeq v$  не являются малыми в сравнении с частотами атомных переходов. Поэтому процесс ионизации атома в столкновениях при  $b > Z/v$  весьма сходен [22–25,12] с ионизацией атома полем световой волны, когда атом поглощает квант, энергия которого достаточна для ионизации, в то время как импульс его пренебрежимо мал. При фотоионизации полем не слишком большой частоты импульс уходящего электрона уравнивается импульсом атомного остатка. Такая же ситуация, очевидно, имеет место и при столкнательной ионизации в области  $b > Z/v > 1$ , приводящей к вылету медленных электронов, что, например, и было зафиксировано экспериментально в [6] при исследовании "мягких" столкновений с атомами гелия.

## Список литературы

- [1] Пресняков Л.П., Шевелько В.П., Янев Р.К. Элементарные процессы с участием многозарядных ионов. М.: Энергоатомиздат, 1986.
- [2] Cocks C.L., Olson R.E. // Phys. Rep. 1991. Vol. 205. P. 205.
- [3] McGuire J.H. // Adv. in At. Mol. and Opt. Phys. 1992. Vol. 29. P. 217.
- [4] Berg H. Doctor Thesis. Universität Frankfurt, 1993.
- [5] Ullrich J., Doerner R., Mergel V. et al. // Preprint N GSI-94-63.
- [6] Moshhammer R., Ullrich J., Unverzagt M. et al. // Phys. Rev. Lett. 1994. Vol. 73. N 25. P. 3371–3374.
- [7] Войткив А.Б., Коваль А.В. // ЖТФ, 1994. М. 4. Вып. 3. С. 188–191.
- [8] Fainstein P.D., Ponce V.H., Rivarola R.D. // J. Phys. 1991. B24. P. 3091–3119.
- [9] Stolterfoht N., Schneider D., Tanis J. et al. // Europhys. Lett. 1987. Vol. 4(8). P. 899–902.
- [10] Stolterfoht N., Platten H., Schiwirtz G. et al. // Phys. Rev. 1995. Vol. A52. P. 3796–3802.
- [11] Macek J.H. // Ionization of Solids by Heavy Particles / Ed. by R.A. Baragiola. New York: Plenum Press, 1993.
- [12] Думан Е.Л., Меньшиков Л.И., Смирнов Б.М. // ЖЭТФ. 1979. Вып. 76. С. 516–528.
- [13] Reinhold C.O., Falcon C.A., Miraglia J.E. // J. Phys. 1987. Vol. B20. P. 3727–3745.
- [14] Николаев В.С., Сидорович В.А., Новожилова В.Н. // ЖЭТФ. 1992. Вып. 101. С. 1198–1208.
- [15] Бор Н. Прохождение атомных частиц через вещество. М.: ИЛ, 1950.
- [16] Дыхне А.М., Юдин Г.Л. // УФН. 1978. Т. 125. С. 377.
- [17] Абрамовиц М., Стиган И. Справочник по математическим функциям. М.: Наука, 1979.
- [18] Reinhold C., Burgdorfer J. // J. Phys. 1993. Vol. B26. P. 3101.
- [19] Thomson J.J. // Phil. Mag. 1912. Vol. 23. P. 449.
- [20] Мотт Н., Мессу Г. Теория атомных столкновений. М.: Мир, 1969.
- [21] Stolterfoht N. One- and Two-Center Electron Emission in Energetic Ion-Atom Collisions. Invited Talk at the Symposium for Two-Center Effects in Ion-Atom Collisions. Lincoln, 1994.
- [22] Fermi E. // Zs. F. Phys. 1924. Vol. 29. P. 315.
- [23] Weizsacker C. // Zs. F. Phys. 1934. Vol. 88. P. 612.
- [24] Williams E. // Phys. Rev. 1934. Vol. 45. P. 729.
- [25] Bethe H. // Ann. Phys. (Leipzig). 1930. N 5. P. 325.